
APPLICATION DE LA THÉORIE DES BANCS DE FILTRES À L'ANALYSE ET À LA CONCEPTION DE MODULATIONS MULTIPORTEUSES ORTHOGONALES ET BIORTHOGONALES

Cyrille SICLET

18 novembre 2002

Composante universitaire : Université de Rennes I - IRISA — École doctorale : MATISSE

Laboratoire d'accueil : France Télécom R&D DMR/DDH

Introduction

- ✓ Intérêts des modulations multiporteuses :
 - ☞ allongement du temps symbole
⇒ modulations moins sensibles aux canaux dispersifs en temps
 - ☞ répartition sur plusieurs fréquences porteuses
⇒ possibilité d'isoler les porteuses perturbées par des émetteurs à bande étroite
- ✓ Applications actuelles :
 - ☞ radiodiffusion (DAB, DVB-T)
 - ☞ réseaux locaux sans fil (HIPERLAN2)
 - ☞ transmission à haut débit sur ligne bifilaire téléphonique (ADSL)

Introduction (2)

- ✓ Limitations des systèmes OFDM utilisés :
 - ☞ filtres mal localisés en fréquence
⇒ sensibilité aux canaux dispersifs en fréquence
 - ☞ utilisation d'un intervalle de garde
⇒ perte d'efficacité spectrale

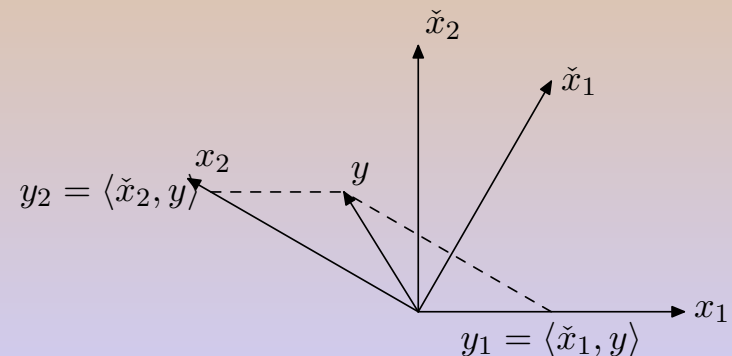
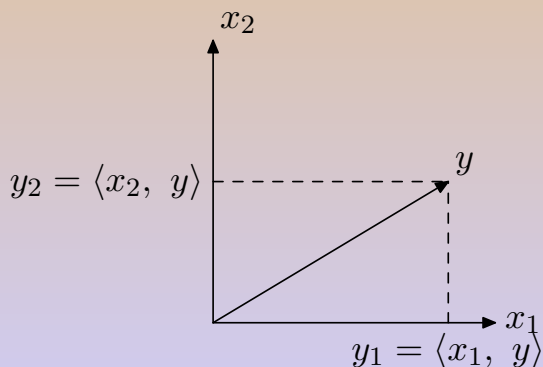
Introduction (2)

- ✓ Limitations des systèmes OFDM utilisés :
 - ☞ filtres mal localisés en fréquence
⇒ sensibilité aux canaux dispersifs en fréquence
 - ☞ utilisation d'un intervalle de garde
⇒ perte d'efficacité spectrale

- ✓ Alternatives proposées :
 - ☞ modulations OFDM/QAM suréchantillonnées
 - ☞ modulations OFDM/OQAM
 - ☞ modulations biorthogonales BFDM/QAM et BFDM/OQAM : généralisation de l'OFDM
⇒ plus de degrés de liberté

Introduction (3) : décomposition d'un signal à l'aide de bases biorthogonales

- ✓ $(x_i)_{i \in I}$ base de \mathbf{E} muni du produit scalaire $\langle \cdot, \cdot \rangle$
 - ☞ $\forall y \in \mathbf{E}$, il existe une unique famille $(y_i)_{i \in I}$ telle que
$$y = \sum_{i \in I} y_i x_i$$
 - ◇ si $(x_i)_{i \in I}$ est orthonormale alors, $\langle x_i, x_j \rangle = \delta_{i,j}$ et
$$y_i = \langle x_i, y \rangle$$
 - ◇ sinon, il existe une autre base $(\check{x}_i)_{i \in I}$ telle que
$$\langle x_i, \check{x}_j \rangle = \delta_{i,j} \text{ et } y_i = \langle \check{x}_i, y \rangle$$
- ☞ $x_i = \check{x}_i$ si x_i est orthonormale



Introduction (4) : plan de l'exposé

- ✓ Modulations BFDM/QAM suréchantillonnées (canal parfait)
- ✓ Modulations BFDM/OQAM (canal parfait)
- ✓ Évaluation des modulations multiporteuses en présence de distorsions
 - ☞ filtres utilisés
 - ☞ résultats
- ✓ Conclusion

Modulations BFDM/QAM suréchantillonnées

Modulations BFDM/QAM suréchantillonnées : temps continu

- ✓ Symboles à transmettre sur M porteuses : $c_{m,n} \in \mathbf{C}$,
 $0 \leq m \leq M - 1$ et $n \in \mathbf{Z}$
- ✓ Signal BFDM/QAM à temps continu en bande de base :

$$s(t) = \sum_{n=-\infty}^{+\infty} \sum_{m=0}^{M-1} c_{m,n} f_{m,n}(t)$$

- ✓ Fonctions de base : famille de Weyl-Heisenberg (ou Gabor)

$$f_{m,n}(t) = f(t - nT_0) e^{j2\pi m F_0 t} e^{j\psi_{m,n}}$$

- ✓ Densité et efficacité spectrale :

$$d = \frac{1}{F_0 T_0} = \frac{M}{N} \leq 1 \text{ et } \eta \approx bd$$

Modulations BFDM/QAM suréchantillonnées : temps discret

- ✓ Échantillonnage à la fréquence de Shannon $F_e = MF_0$,
i.e. à la période sous-critique $T_e = \frac{1}{F_e} = \frac{T_0}{N} \leq \frac{T_0}{M}$
 - ✓ Troncation et translation de $f(t)$ pour obtenir des filtres RIF causaux :
- ☞ signal BFDM/QAM à temps discret en bande de base :

$$s[k] = \sum_{n=-\infty}^{+\infty} \sum_{m=0}^{M-1} c_{m,n} f_{m,n}[k]$$

avec $f_{m,n}[k] = f[k - nN] e^{j\frac{2\pi}{M}m(k - \frac{D}{2})} e^{j\psi_{m,n}}$

- ✓ Exemple : OFDM classique sans IG : $N = M$, f fonction porte

Modulations BFDQM/QAM suréchantillonnées : temps discret (2)

- ✓ Démodulation: utilisation d'une base biorthogonale discrète $\check{f}_{m,n}$, avec un produit scalaire complexe :

$$\hat{c}_{m,n} = \langle \check{f}_{m,n}, s \rangle = \sum_{k=-\infty}^{+\infty} \check{f}_{m,n}^*[k] s[k]$$

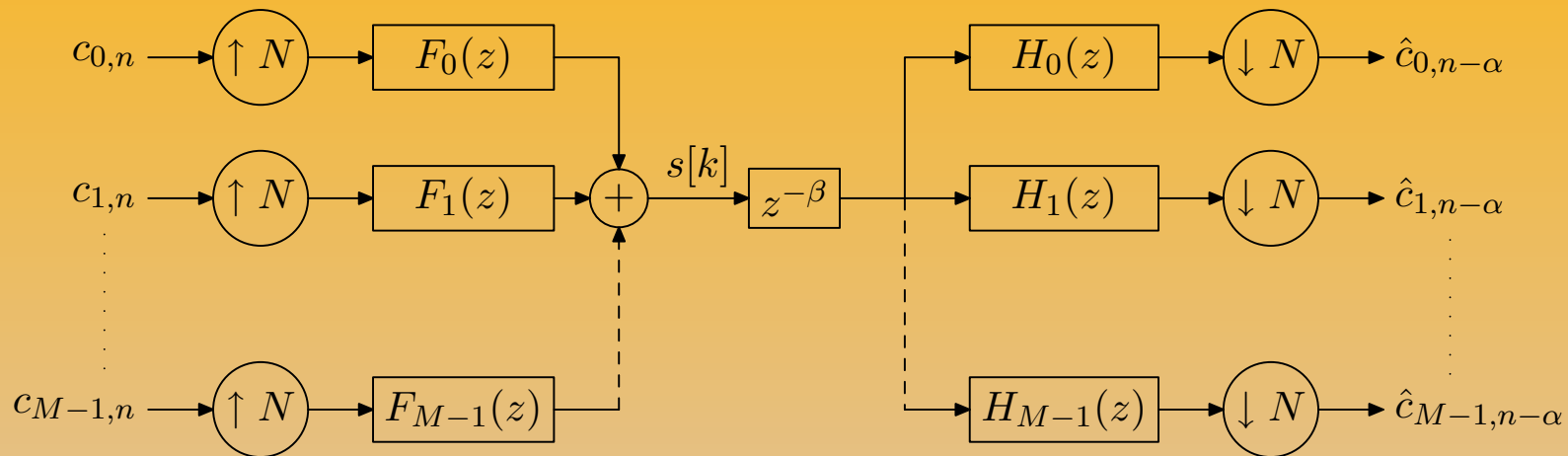
avec $\check{f}_{m,n}[k] = \check{f}[k - nN] e^{j \frac{2\pi}{M} m (k - \frac{D}{2})} e^{j\psi_{m,n}}$

- ✓ Condition de biorthogonalité : $\hat{c}_{m,n} = c_{m,n}$ avec un canal parfait si

$$\langle \check{f}_{m,n}, f_{m',n'} \rangle = \sum_{k=-\infty}^{+\infty} \check{f}_{m,n}^*[k] f_{m',n'}[k] = \delta_{m,m'} \delta_{n,n'}$$

\Rightarrow cas orthogonal : $f[k] = \check{f}[k]$

Modulations BFDM/QAM suréchantillonnées : schéma du transmultiplexeur



- ✓ $D = \alpha N - \beta$ avec $0 \leq \beta \leq N - 1$
- ✓ $f_m[k] = f[k] e^{j \frac{2\pi}{M} m(k - \frac{D}{2})}$
- ✓ $h_m[k] = h[k] e^{j \frac{2\pi}{M} m(k - \frac{D}{2})}$ avec $h[k] = \check{f}^*[D - k]$
- ✓ Cas orthogonal : $D = L - 1$ et $f[k] = h^*[D - k]$

Modulations BFDM/QAM suréchantillonnées : approche polyphase

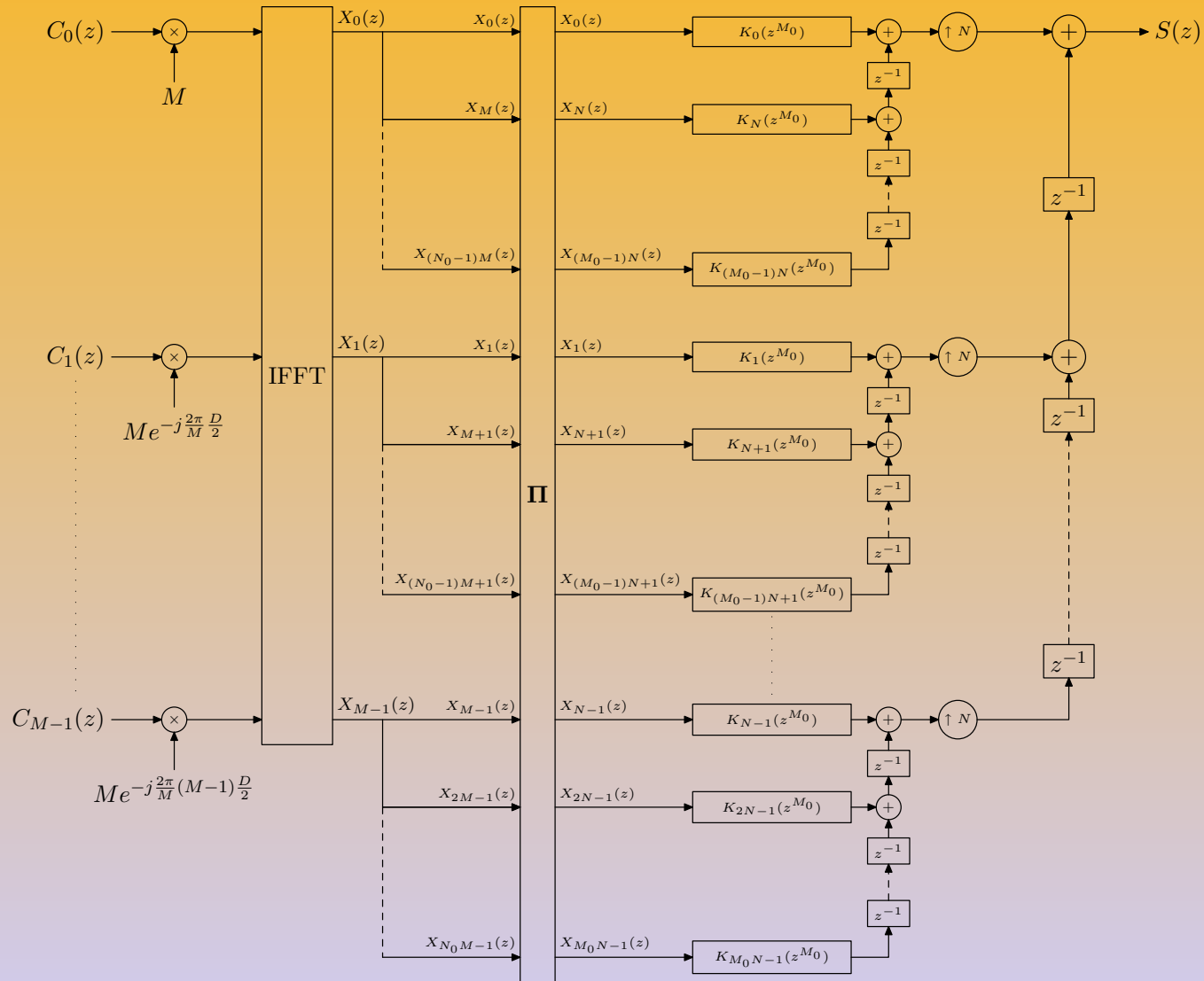
- ✓ Décomposition polyphase de $F(z)$ et $H(z)$ d'ordre N_0M :

$$F(z) = \sum_{l=0}^{N_0M-1} z^{-l} K_l(z^{N_0M}), \quad H(z) = \sum_{l=0}^{N_0M-1} z^{-l} G_l(z^{N_0M})$$

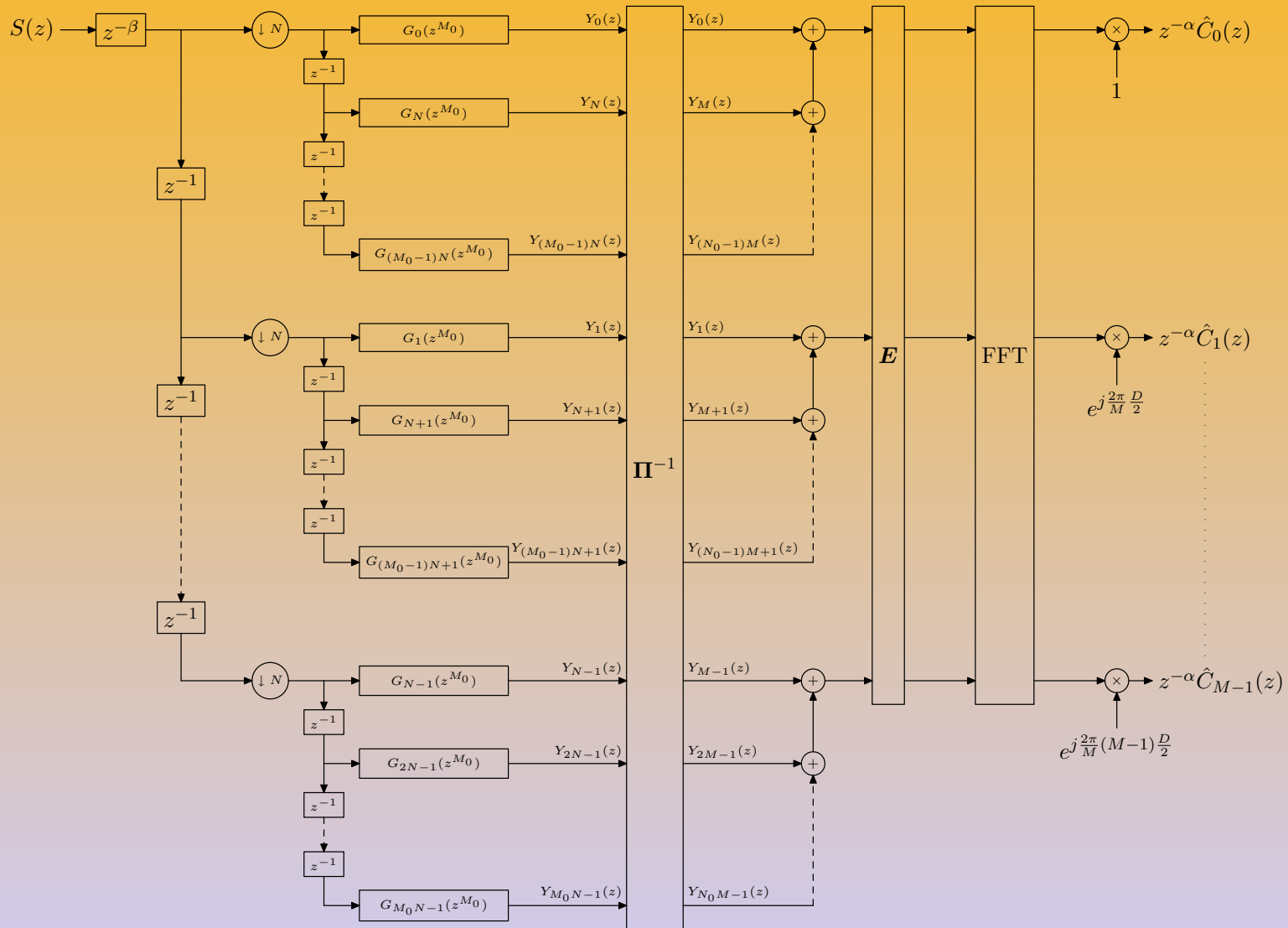
avec $N_0M = M_0N = \text{PPCM}(N, M)$

- 👉 après calculs, on retrouve un schéma de réalisation utilisant des transformées de Fourier au modulateur et au démodulateur
- 👉 MM_0 conditions de biorthogonalité portant sur ces composantes polyphases

Modulations BFDM/QAM suréchantillonnées : schéma du modulateur



Modulations BFDM/QAM suréchantillonnées : schéma du démodulateur



Modulations BFDQ/QAM suréchantillonnées : remarques sur les schémas de réalisation

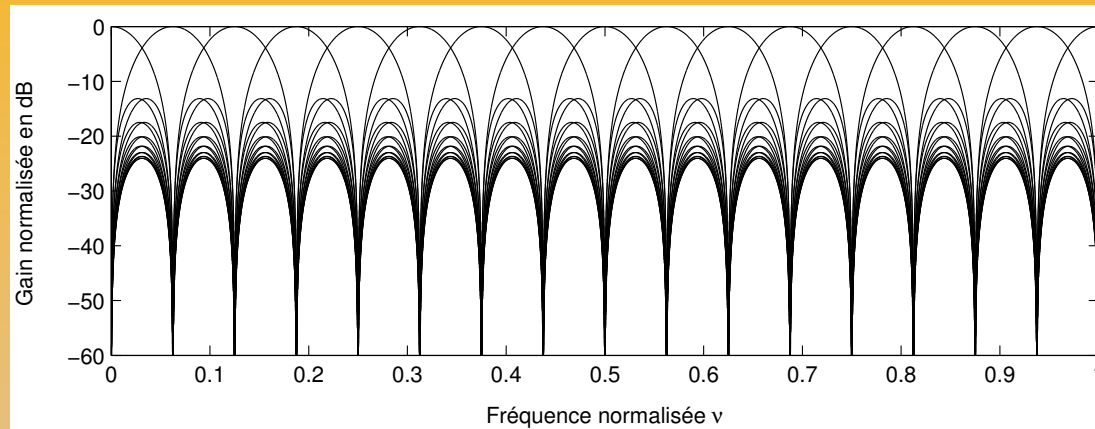
- ⇒ possibilité d'utiliser les mêmes filtres avec d'autres transformées inversibles
- ⇒ architecture utilisable pour les codeurs en sous-bandes modulés suréchantillonnés

Modulations BFDQM/QAM suréchantillonnées : conditions de reconstruction parfaite

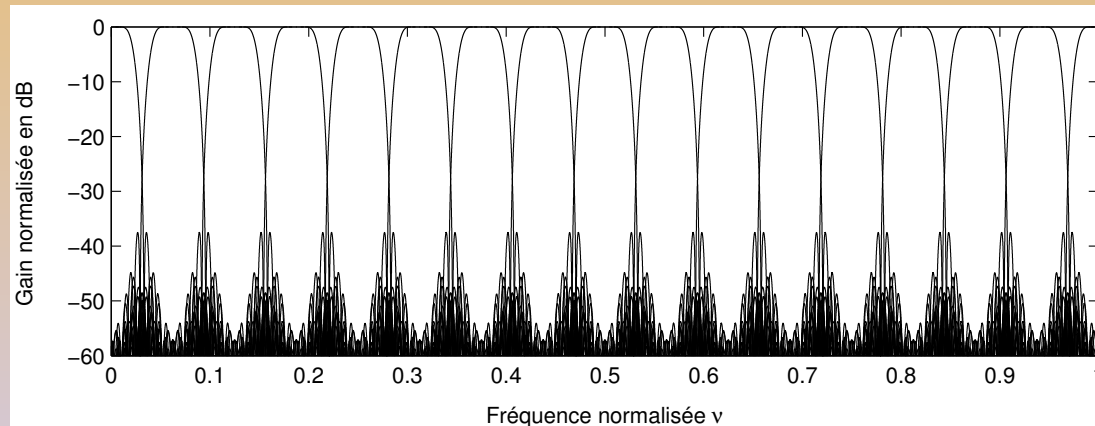
$$\sum_{n=0}^{n_{l,\lambda}} G_{nM+l}(z) K_{(\lambda-\lambda_0)N+d_0-(nM+l)}(z) + z^{-1} \sum_{n=n_{l,\lambda}+1}^{N_0-1} G_{nM+l}(z) K_{N_0M+(\lambda-\lambda_0)N+d_0-(nM+l)}(z) = \frac{z^{-s_0}}{M} \delta_{\lambda,\lambda_0}$$

- ✓ $D = s_0 N_0 M + d_0$ avec $0 \leq d_0 \leq N_0 M - 1$
- ✓ Mise en évidence du délai de reconstruction
- ✓ Écriture unifiée et explicite
- ✓ Conditions utilisables pour les codeurs en sous-bandes par dualité entre familles de Weyl-Heisenberg

Modulations BFDM/QAM suréchantillonnées : influence du suréchantillonnage



OFDM classique (filtre rectangulaire $M = N = L = 16$)



OFDM/QAM suréchantillonné par $\frac{3}{2}$ ($M = 16$, $N = 24$ et
 $L = 192$, prototype minimisant l'énergie hors-bande)

Modulations BFDM/OQAM

Modulations BFDM/OQAM :

principe

- ✓ Parties réelles et imaginaires des symboles alternativement décalées d'un demi-temps symbole (offset) :

	$(2m - 1)F_0$	$(2m)F_0$	$(2m + 1)F_0$
$nT_0 - T_0/2$	$c_{2m-1,n-1}^{\mathcal{R}}$	$j c_{2m,n-1}^{\mathcal{I}}$	$c_{2m+1,n-1}^{\mathcal{R}}$
nT_0	$j c_{2m-1,n}^{\mathcal{I}}$	$c_{2m,n}^{\mathcal{R}}$	$j c_{2m+1,n}^{\mathcal{I}}$
$nT_0 + T_0/2$	$c_{2m-1,n}^{\mathcal{R}}$	$j c_{2m,n}^{\mathcal{I}}$	$c_{2m+1,n}^{\mathcal{R}}$

- ✓ Symboles transmis sur $M = 2N$ porteuses : $a_{m,n} \in \mathbf{R}$
- ✓ Signal BFDM/OQAM à temps continu en bande de base :

$$s(t) = \sum_{n=-\infty}^{+\infty} \sum_{m=0}^{2N-1} a_{m,n} f_{m,n}(t)$$

$$f_{m,n}(t) = f(t - nT_0/2) e^{j2\pi m F_0 t} e^{j\frac{\pi}{2}(m+n)} \text{ et } F_0 T_0 = 1$$

Modulations BFDM/OQAM : du continu au discret

- ✓ Échantillonnage à la période critique $T_e = \frac{T_0}{M}$
- ✓ Troncation et translation de $f(t)$ pour avoir des filtres FIR causaux
- ☞ signal BFDM/OQAM à temps discret :

$$s[k] = \sum_{n=-\infty}^{+\infty} \sum_{m=0}^{2M-1} a_{m,n} f_{m,n}[k]$$

avec $f_{m,n}[k] = f[k - nN] e^{j\frac{2\pi}{2N}m\left(k - \frac{D}{2}\right)} e^{j\frac{\pi}{2}(m+n)}$

Modulations BFDM/OQAM : démodulation à temps discret

- ✓ Démodulation: projection sur une base biorthogonale $\check{f}_{m,n}$ avec un produit scalaire réel :

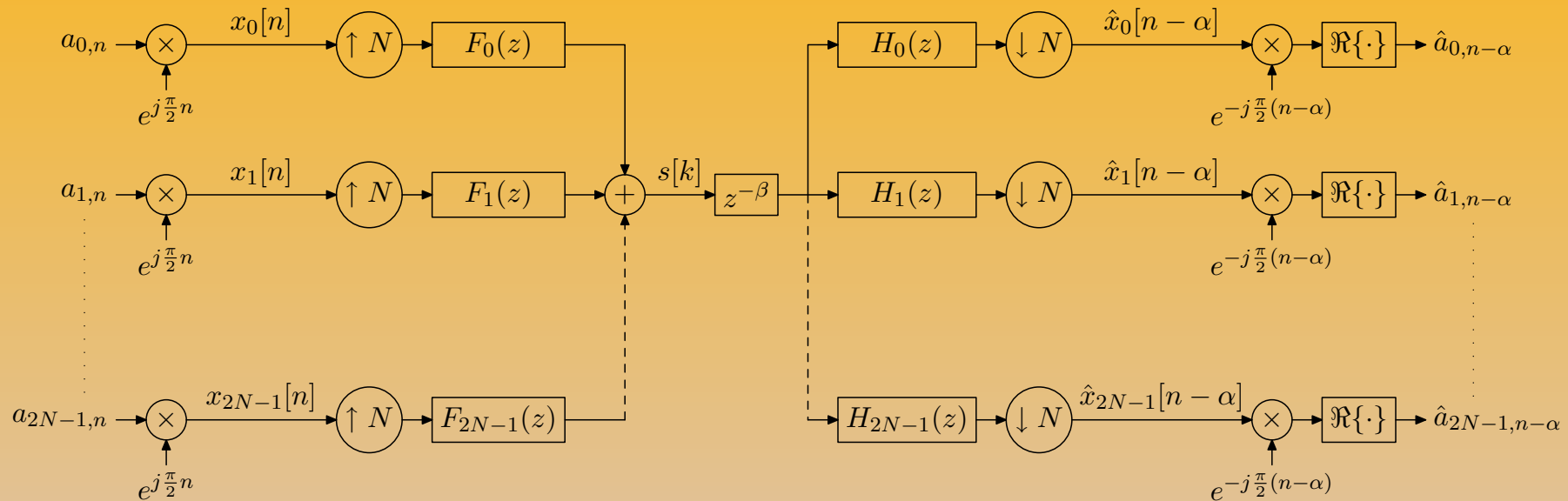
$$\hat{a}_{m,n} = \langle \check{f}_{m,n}, s \rangle_{\mathbf{R}} = \Re \left\{ \sum_{k=-\infty}^{+\infty} \check{f}_{m,n}^*[k] s[k] \right\}$$

avec $\check{f}_{m,n}[k] = \check{f}[k - nN] e^{j \frac{2\pi}{2N} m \left(k - \frac{D}{2}\right)} e^{j \frac{\pi}{2} (m+n)}$

- ✓ Condition de biorthogonalité : $\hat{a}_{m,n} = a_{m,n}$ avec un canal parfait si

$$\langle \check{f}_{m,n}, f_{m',n'} \rangle_{\mathbf{R}} = \Re \left\{ \sum_{k=-\infty}^{+\infty} \check{f}_{m,n}^*[k] f_{m',n'}[k] \right\} = \delta_{m,m'} \delta_{n,n'}$$

Modulations BFDM/OQAM : schéma du transmultiplexeur



✓ $D = \alpha N - \beta$ avec $0 \leq \beta \leq N - 1$

✓ $f_m[k] = f[k] e^{j \frac{2\pi}{M} m (k - \frac{D-M}{2})}$

✓ $h_m[k] = h[k] e^{j \frac{2\pi}{M} m (k - \frac{D+M}{2})}$ avec $h[k] = \check{f}^*[D - k]$

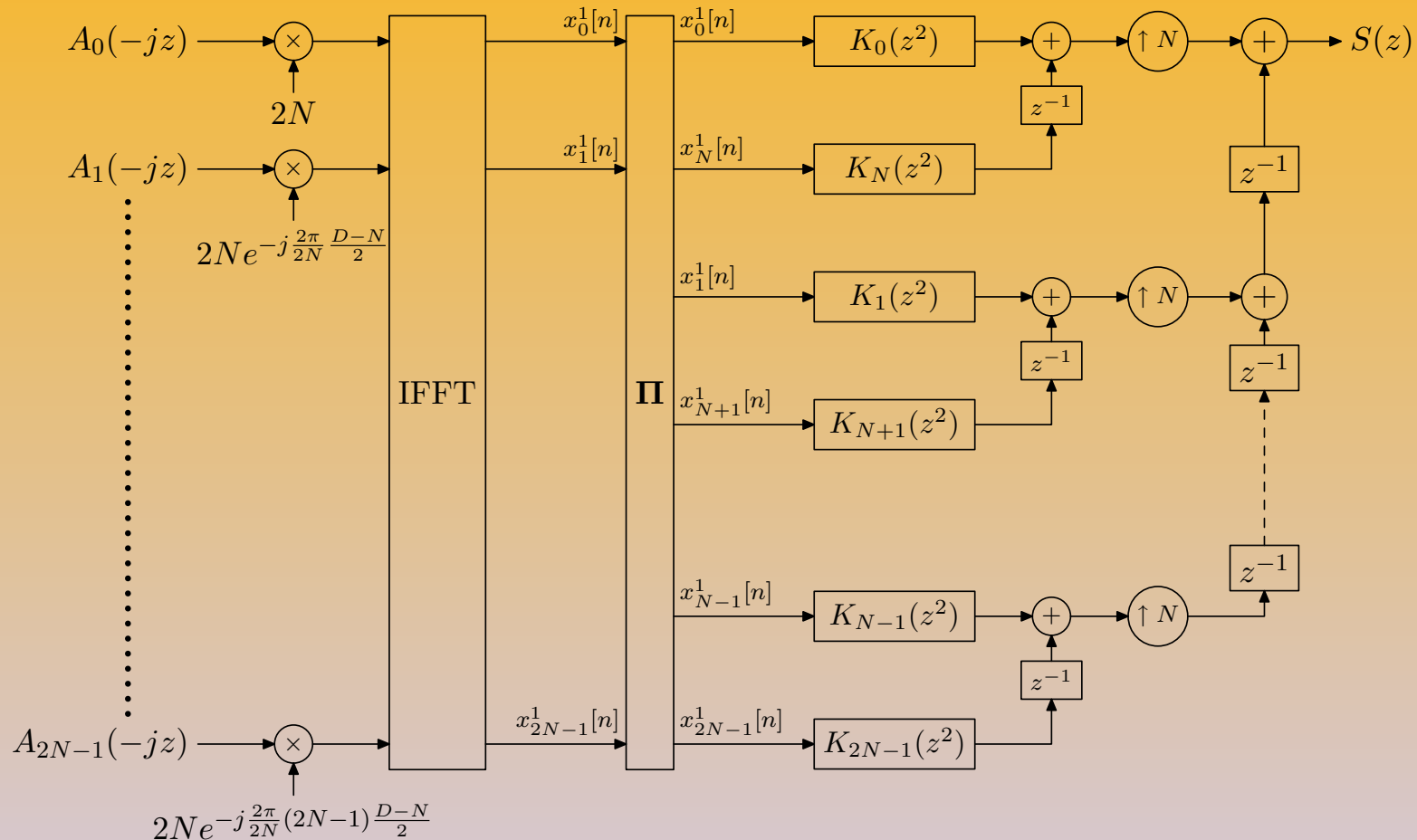
Modulations BFDM/OQAM : approche polyphase

- ✓ Décomposition polyphase de $F(z)$ et $H(z)$ d'ordre $2N$:

$$F(z) = \sum_{l=0}^{2N-1} z^{-l} K_l(z^{2N}), \quad H(z) = \sum_{l=0}^{2N-1} z^{-l} G_l(z^{2N})$$

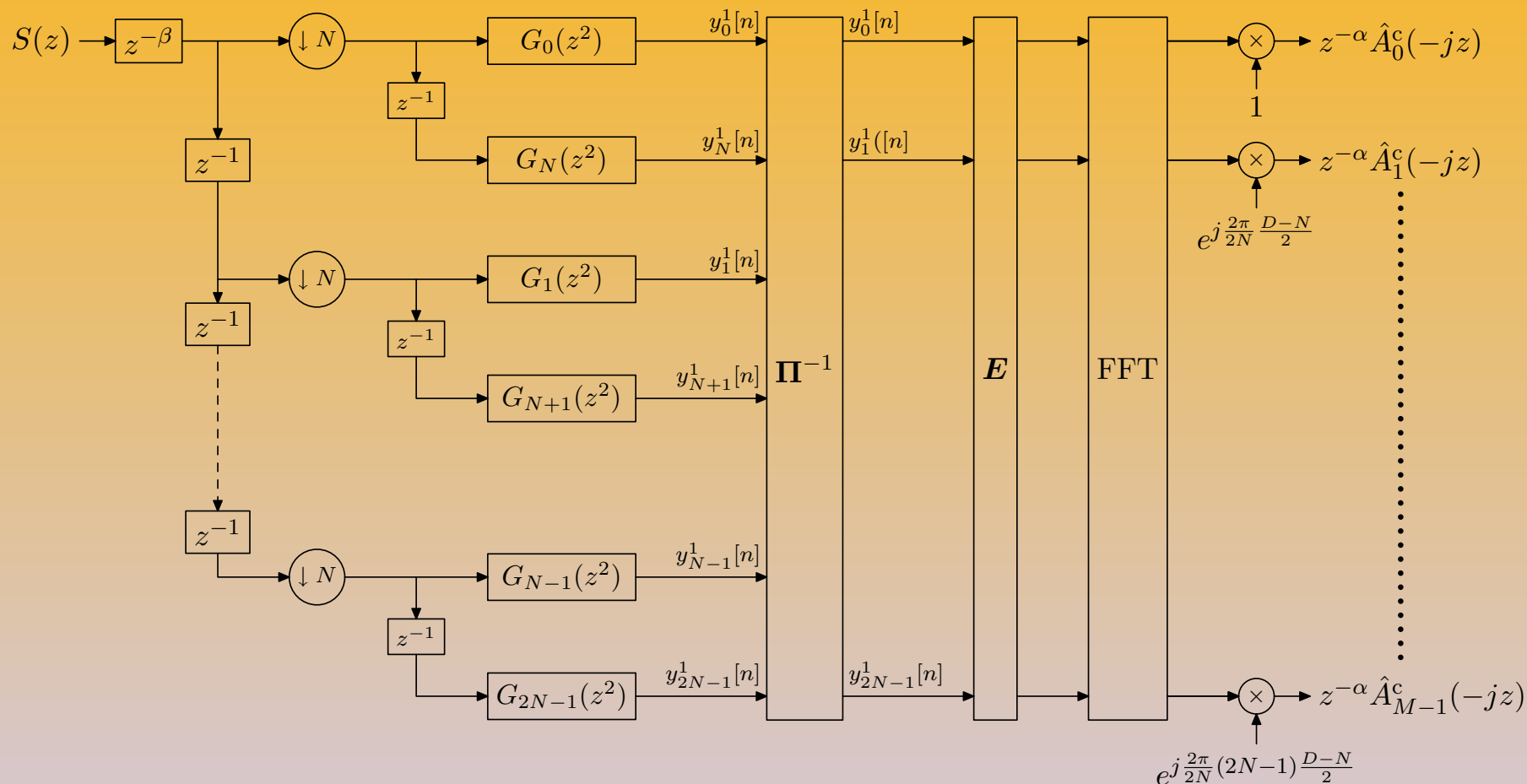
- ☞ après calculs, on retrouve un schéma de réalisation utilisant des transformées de Fourier au modulateur et au démodulateur
- ☞ conditions de biorthogonalité portant sur ces composantes polyphases

Modulations BFDM/OQAM : schéma du modulateur



avec $A_m(-jz)$ transformée en z de $a_{m,n} j^n$

Modulations BFDM/OQAM : schéma du démodulateur



avec $\hat{A}_m(z) = \Re\{\hat{A}_m^c(z)\}$

Modulations BFDM/OQAM :

conditions de reconstruction parfaite

On pose $D = 2sN + d$ avec $0 \leq d \leq 2N - 1$

✓ Pour $0 \leq l \leq N - 1$,

$$K_l^*(z) = c_l z^{-a_l} G_l(z) \text{ et } K_{N+l}^*(z) = c_l z^{-a_l} G_{N+l}(z)$$

✓ Si $0 \leq d \leq N - 1$, alors

$$G_l(z)G_{d-l}^*(z) + z^{-1}G_{N+l}(z)G_{N+d-l}^*(z) = \frac{z^{-(s-a_l)}}{Nc_l}, \quad 0 \leq l \leq d$$

$$G_l(z)G_{2N+d-l}^*(z) + G_{N+l}(z)G_{N+d-l}^*(z) = \frac{z^{-(s-1-a_l)}}{Nc_l}, \quad d+1 \leq l \leq N-1$$

✓ Si $N \leq d \leq 2N - 1$, alors

$$G_l(z)G_{d-l}^*(z) + G_{N+l}(z)G_{d-N-l}^*(z) = \frac{z^{-(s-a_l)}}{Nc_l}, \quad 0 \leq l \leq d - N$$

$$G_l(z)G_{d-l}^*(z) + z^{-1}G_{N+l}(z)G_{N+d-l}^*(z) = \frac{z^{-(s-a_l)}}{Nc_l}, \quad d+1-N \leq l \leq N-1$$

⇒ mêmes conditions que pour

☞ bancs MDFT et bancs modulés en cosinus (DCT)

☞ BFDM/QAM ($M' = N$, $N' = M = 2N$ et $F(z) = H^*(z)$)

Évaluation des modulations multiporteuses en présence de distorsions

Évaluation des modulations multiporteuses : critères d'optimisation ($F(z) = H(z)$)

- ✓ Minimisation de l'énergie hors-bande

$$J = \frac{E(f_c)}{E(0)} \text{ avec } E(x) = \int_x^{\frac{1}{2}} |F(e^{j2\pi\nu})|^2 d\nu$$

- ☞ f_c fréquence de coupure et $0 \leq J \leq 1$

Évaluation des modulations multiporteuses : critères d'optimisation ($F(z) = H(z)$)

- ✓ Minimisation de l'énergie hors-bande

$$J = \frac{E(f_c)}{E(0)} \text{ avec } E(x) = \int_x^{\frac{1}{2}} |F(e^{j2\pi\nu})|^2 d\nu$$

- ☞ f_c fréquence de coupure et $0 \leq J \leq 1$

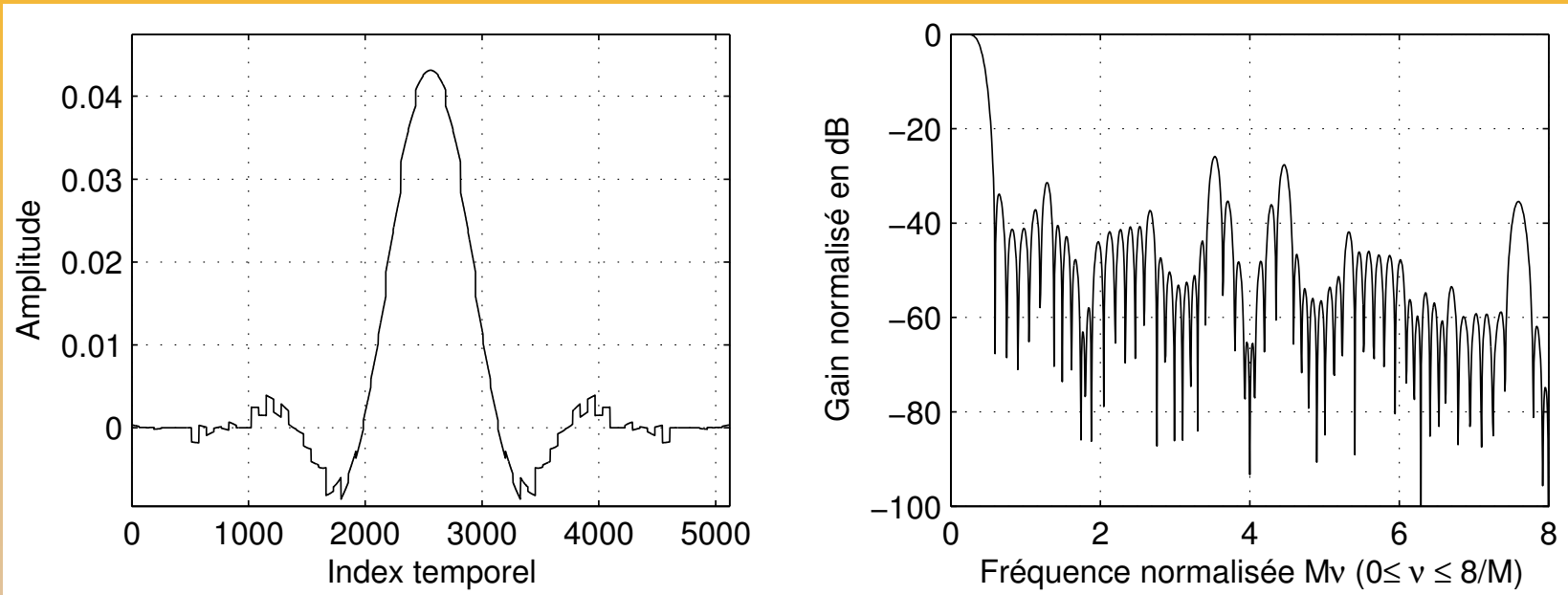
- ✓ Maximisation de la localisation temps-fréquence

$$\xi = \frac{1}{\sqrt{4m_2M_2}}$$

- ☞ m_2 et M_2 moments d'ordre 2 en temps et en fréquence modifiés (Doroslovački)

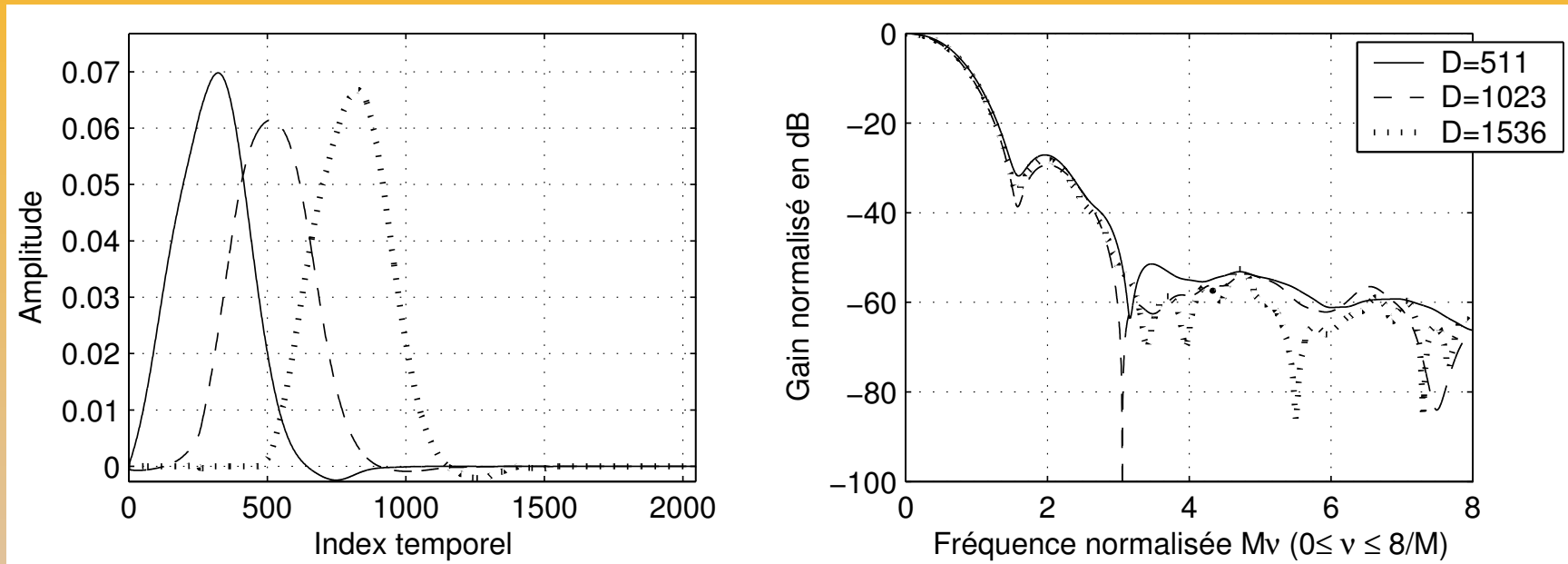
- ☞ $0 \leq \xi \leq 1$, optimum : $\xi = 1$

Évaluation des modulations multiporteuses : filtres utilisés



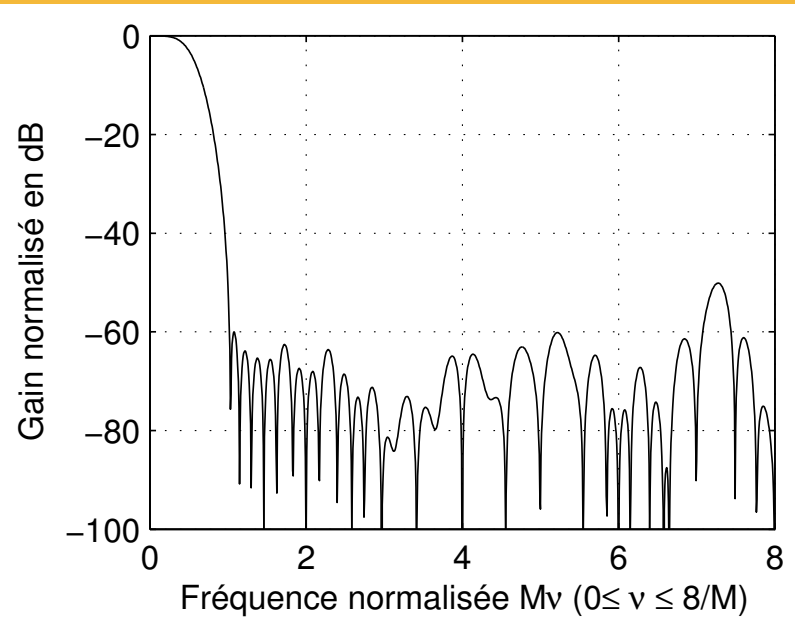
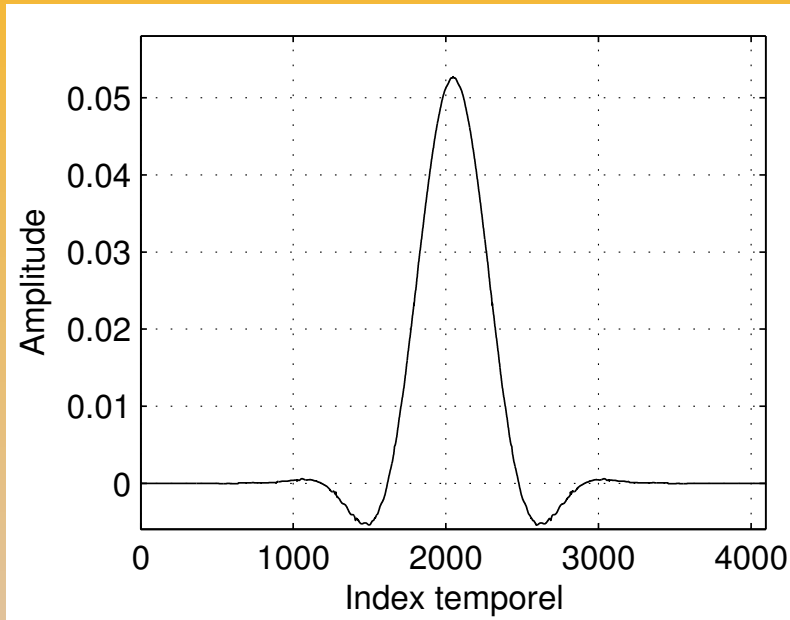
Filtre prototype OFDM/QAM à 5120 échantillons
pour 512 porteuses, $d = \frac{4}{5}$, $N = 640$,
minimisant l'énergie hors-bande.

Évaluation des modulations multiporteuses : filtres utilisés (2)



Filtres prototypes BFDM/OQAM à 2048 échantillons
pour 512 porteuses ($N = 256$),
maximisant la localisation temps-fréquence.

Évaluation des modulations multiporteuses : filtres utilisés (3)



Filtre prototype OFDM/OQAM à 4096 échantillons pour 512 porteuses, minimisant l'énergie en dehors de la bande $[\frac{1}{N}, \frac{1}{2}]$.

Évaluation des modulations multiporteuses : performances sur canal gaussien

- ✓ À efficacité spectrale identique : modulations orthogonales équivalentes et optimales
- ✓ Influence du suréchantillonnage : gain $10 \log \frac{N}{M}$ dB
- ✓ Modulations biorthogonales : perte $\Delta = 20 \log(\|f\| \|h\|)$ dB :

$L \backslash D$		511	1023	1535
1024	Δ	2,03	-	-
	J	$2,92 \cdot 10^{-3}$	-	-
1536	Δ	3,14	$5,92 \cdot 10^{-2}$	-
	J	$1,45 \cdot 10^{-3}$	$1,53 \cdot 10^{-3}$	-
2048	Δ	3,33	$9,70 \cdot 10^{-1}$	1,43
	J	$1,32 \cdot 10^{-3}$	$3,16 \cdot 10^{-4}$	$4,98 \cdot 10^{-3}$

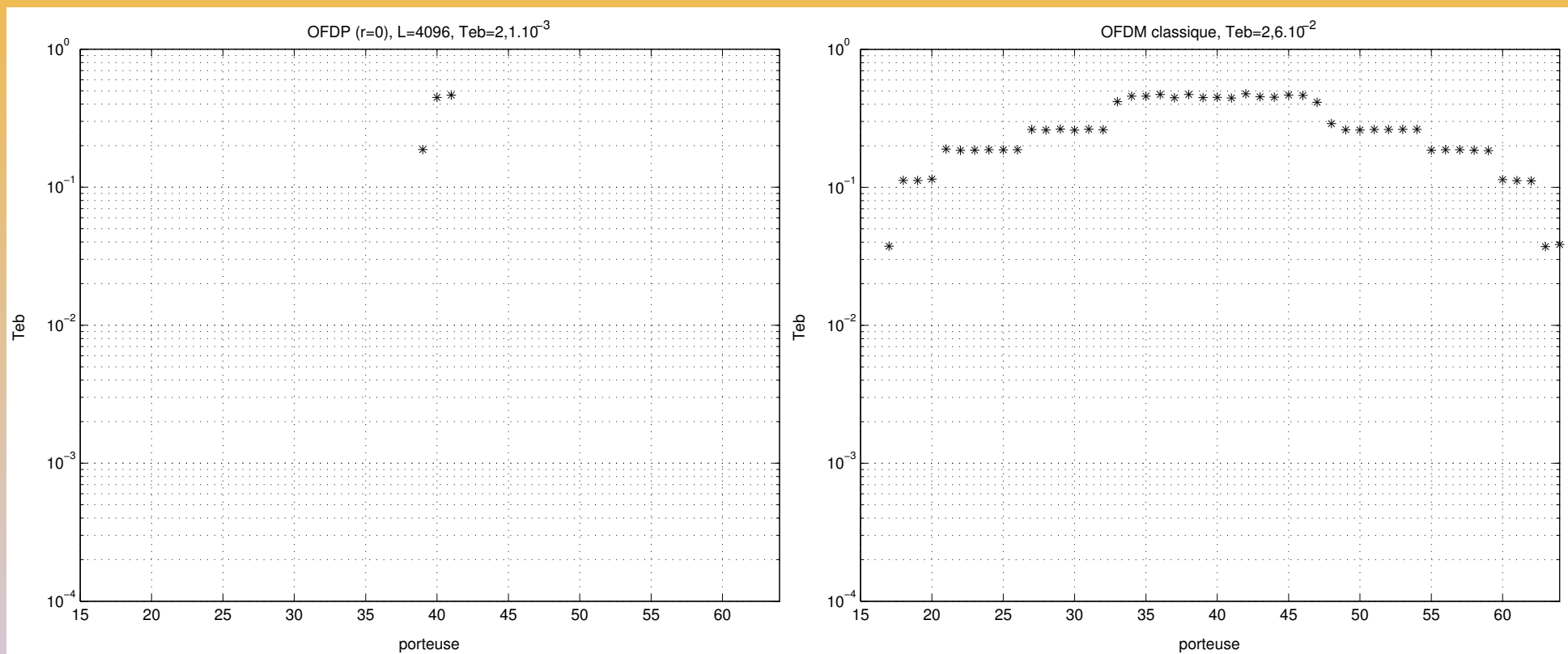
Évaluation des modulations multiporteuses : interférence à bande étroite

- ✓ Perturbation d'amplitude σ autour de la fréquence λF_0
- ✓ Signal reçu : $r[k] = s[k] + \sigma e^{j\frac{2\pi}{M}\lambda(k-\frac{D}{2})}$
- ✓ Erreur quadratique moyenne sur la porteuse m :

$$\varepsilon_m^2 = \frac{\sigma^2}{\sigma_s^2} \|f\|^2 \left| H\left(\frac{\lambda-m}{M}\right) \right|^2$$

Évaluation des modulations multiporteuses : interférence à bande étroite (2)

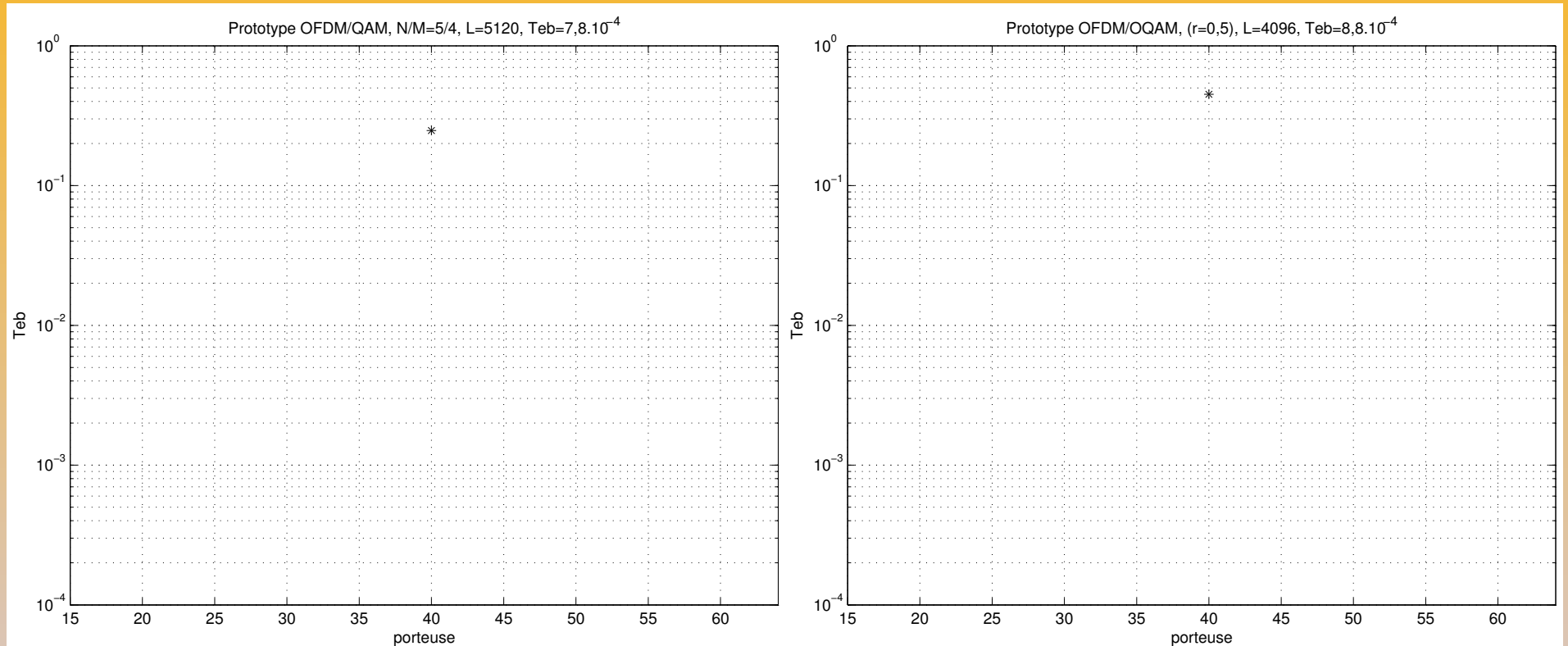
✓ $\frac{\sigma_s^2}{\sigma^2} = -5 \text{ dB}, \text{MAQ-4}, \lambda = 40, 2 M = 512$



OFDP, $L = 4096$

OFDM classique

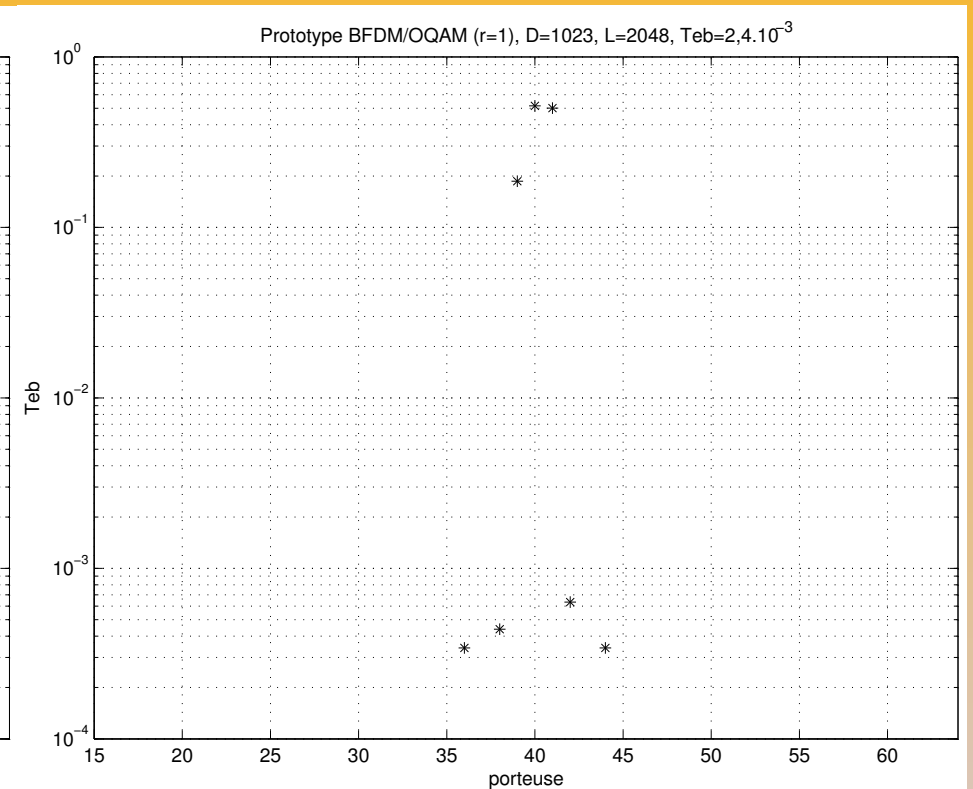
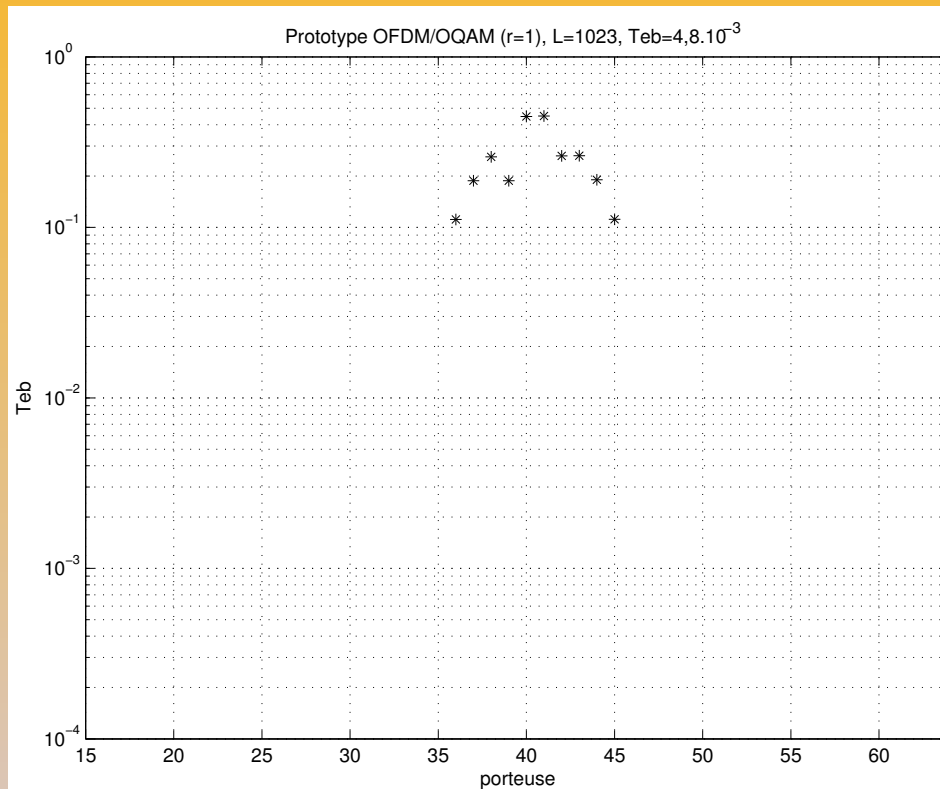
Évaluation des modulations multiporteuses : interférence à bande étroite (3)



OFDM/QAM, $\frac{N}{M} = \frac{5}{4}$, $L = 5120$

OFDM/OQAM, $L = 4096$

Évaluation des modulations multiporteuses : interférence à bande étroite (4)

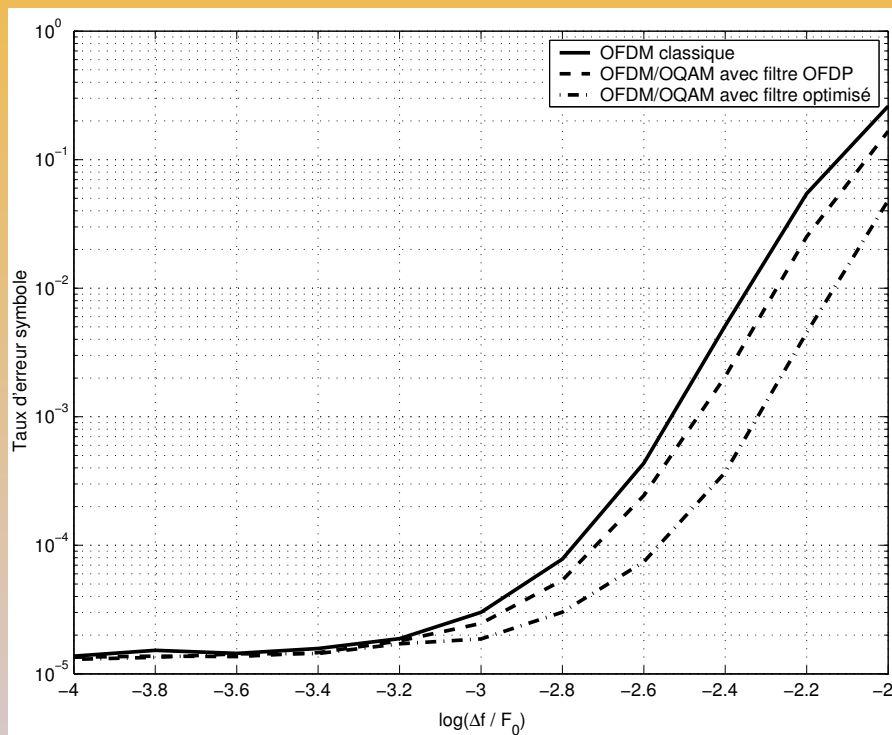


OFDM/OQAM, $L = 1024$, $D = 1023$

BFDM/OQAM, $L = 2048$, $D = 1023$

Évaluation des modulations multiporteuses : décalage fréquentiel en réception

✓ Signal reçu : $r[k] = (s[k] + b[k])e^{j\frac{2\pi}{M}\frac{\Delta f}{F_0}\left(k - \frac{D}{2}\right)}$



MAQ-16, $M = 16$, RSB = 20dB

ligne continue : OFDM classique

tirets : OFDM/OQAM

filtre OFDP ($L = 64$)

tirets pointillés : OFDM/OQAM

filtre optimisé ($L = 16$)

⇒ meilleur filtre : orthogonal, maximisation de la localisation temps-fréquence, taille minimale

Conclusion : bilan

- ✓ Conditions de reconstruction parfaite en BFD_M/QAM suréchantillonné et BFD_M/OQAM
- ✓ Synthèse de filtres orthogonaux et biorthogonaux
- ✓ Filtres courts à reconstruction parfaite possibles
- ✓ Intérêt des filtres biorthogonaux :
 - ☞ meilleures caractéristiques (localisation temps-fréquence ou énergie hors-bande) à délai de reconstruction identique
- ✓ Intérêt du suréchantillonnage :
 - ☞ plus robuste pour une interférence à bande étroite
 - ☞ plus robuste pour un canal gaussien
 - ☞ mais perte d'efficacité spectrale

Conclusion : quelques perspectives

- ✓ Familles de Weyl-Heisenberg : études des séries à coefficients réels
- ✓ BFDM/OQAM : unification des structures treillis et échelles
- ✓ BFDM/QAM suréchantillonnées : recherche de structures à reconstruction parfaite
- ✓ Étude du PAPR
- ✓ Introduction d'autres imperfections dans le modem (erreur sur l'instant d'échantillonnage en réception...)
- ✓ Intégration dans un système complet et étude avec des canaux réalistes